

# 低級炭化水素의 接觸分解에 依한 Olefine 의 生成

南宮 寔, 河 白顯, 田 炳善\*

(1965. 3. 26. 受理)

## The Olefine Formation from Lower Hydrocarbon by Catalytic Cracking

by

Shik Namkoong, Baik-Hyon Ha, and Byung-Sun Chun

Dept. of Chem. Eng., College of Eng., Ilan Yang Univ.

Received Mar. 32, 1965

The catalytic cracking and dehydrogenation of lower hydrocarbon gas using "Neobead" and silica-alumina have been studied by the pulse flow microreactor, over the reaction temperature range of 500~700[°C] and the time factor 1~7[sec].

The activities of these two catalysts for the cracking and dehydrogenation reactions were compared and discussed.

Under the conditions such as reaction temperature, 650[°C] and time factor, 4.6[sec] for Neobead and 650[°C], 4.05[sec] for silica-alumina, the initial activities and fouling characteristics were checked, and these leads to the conclusion that Neobead is preferable to dehydrogenation of propane and silica-alumina, to cracking of propane.

The optimum reaction temperatures and time factors of olefine formation were found to be 650°C and 1.0 second for "Neobeads"(alumina catalyst); and 700°C and 1.0 second for silica-alumina catalyst.

### 1. 緒論

主成分으로써, propane 및 n-butane 을 가지고 있는市販 L.P.G 는 安價로 얻을 수 있기 때문에 olefine의重要な原料로 생각할 수가 있고, 특히 C<sub>2</sub> 및 C<sub>3</sub>의 低級 olefine 은 石油化學原料로서 重要한 것이다. 本研究는 propane gas 및 市販 butane gas 를 原料로 하여 接觸 分解 및 脱水素에 의한 propylene 및 ethylene의 生成에 있어 觸媒作用의 選擇性, 反應條件 및 生成氣體의 組成 등을 檢討하기 위하여 實驗하였다. 炭化水素의 分解用 觸媒로는 一般的으로 silica-alumina 가 암

\* 漢陽大學校 工科大學 化學工學科

려져 使用되고 있고, 純粹한 低級炭化水素의 热分解 및 接觸脫水素에 關하여도 Frey<sup>1-3)</sup> 等의 報告가 있으며, 脱水素觸媒로는 酸化크롬이 유효하다는 것이 Sabatier<sup>4)</sup>, Wheeler<sup>5)</sup> 氏 等에 依하여 널리 알려져 있다. 또한, 觸媒 Al<sub>2</sub>O<sub>3</sub>-Cr<sub>2</sub>O<sub>3</sub> 를 使用하여 混合氣體狀炭化水素의 脱水素에 依한 propylene 的 生成에 關한 武末氏<sup>6)</sup> 等의 研究도 있다.

本研究에서는, Neobead 및 silica-alumina 의 두 觸媒를 使用하여 propane 및 butane gas의 脱水素 및 接觸分離에 依한 propylene, ethylene 및 methane의 生成 및 n-butane의 反應生成物 등을, 本研究室에서製作한 gas chromatograph 에 microreactor 의 기능을

부가시켜 pulse flow method에 의하여 檢討하고 그結果를 보고 한다.

## 2. 實驗

### 2. 1. 試料 및 觸媒

本實驗에 使用된 試料는, 比較的 propane의 含量(88%)이 크고 olefine이 적은 것을 使用할 目的으로, 美國 Rock Gas 社製 propane gas와 라이타用 butane gas(日本製)를 擇하였으며, 그 組成을 각각 Table 1에 表示하였다.

觸媒로는, 住友化學會社製 neobead(成分  $\text{Al}_2\text{O}_3$ )와 日揮化學會社製 silica-alumina( $\text{SiO}_2$  85%· $\text{Al}_2\text{O}_3$  15%)를 60~80mesh로 하여 oven에서 충분히 乾燥하여 使用하였다.

### 2. 2. 實驗 裝置

實驗裝置의 略圖는 Fig. 1에 圖示하였다. 反應管은 4mmφ의 stainless tube를 microfurnace에 설치하고, 觸媒量을 0.5~1.5ml 총전시켜 500°C에서 He gas를 충분히 통하여 使用하였다.

試料量은 恒時 0.7ml를 sample doser에 依하여 取하였다.

實驗은 觸媒의 初期活性及 試料投入에 따른活性의 經時變化 및 反應溫度: 500—550—600—650—700[°C], V/F<sup>o</sup>: 1~7[sec]의 범위에서 一連의 實驗을 하였다.

#### 分析 Column 및 그의 使用條件

Gas chromatograph는 mV-recorder를 구입하여 本研究室에서 組立하였다.

定性 및 定量用 packing material로는 住友化學會社製活性 alumina를 60~80mesh로 하여 700°C에서 4時間 乾燥하고, 重量比로 40%의 D. M. F. (dimethyl formamide)를 여기에 浸透시켜 使用하였다.

Column으로는 4mmφ의 鋼管을 3m로 하여 常溫에서 使用하였는데, propylene과 iso butane의 分離 및 ethane과 ethylene의 分離가 完全하지는 못했으나 큰 지장은 없었다. 定性分析은, ethanol, butyl alcohol 및 iso-butyl alcohol을 活性 alumina上을 通過시켜 脱水하여 olefine을 製造하고, retention volume에 의

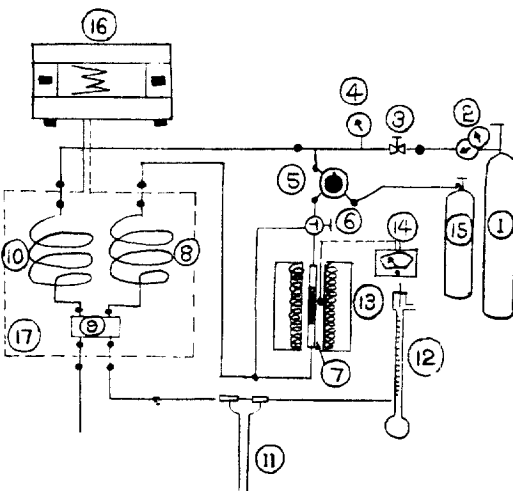


Fig. 1. Diagram of Apparatus

- |                     |  |
|---------------------|--|
| ① He gas bomb       | ⑩ Balance column                           |
| ② Pressure gage     | ⑪ Manometer                                |
| ③ Needle valve      | ⑫ Soap film flow meter                     |
| ④ Pressure gage     | ⑬ Microfurnace                             |
| ⑤ Sample doser      | ⑭ Pyrometer                                |
| ⑥ Three way cock    | ⑮ Sample gas bomb (L. P.G. and butane gas) |
| ⑦ Reactor           | ⑯ Recorder                                 |
| ⑧ Separation column | ⑰ Thermostatic bath                        |
| ⑨ Detector          |  |
| ⑯ Recorder          |  |
| ⑰ Thermostatic bath |  |

하여 olefine 成分을 固定하고, parafine 성분은 이들로부터 推論하여 實驗에 의하여 확실히 하였다. Carrier gas로서는 He를 使用하였는데, 水素와 热傳導度의 欽이 비슷하여 peak가 不明確하게 되어 生成物中 水素의 定量은 不可能하였으나, 一定量의 試料 공급에 의한 反應生成物의 peak面積의 合의 差 및 炭素의 析出量으로 大小를 추측할 수 있었다.

## 3. 實驗 結果

### 3. 1. 觸媒活性의 經時變化

觸媒의 初期活性及 初期反應生成物의 組成을 檢討

Table I. Composition of Samples

Component	$\text{CH}_4$	$\text{C}_2\text{H}_6$	$\text{C}_2\text{H}_4$	$\text{C}_3\text{H}_8$	$\text{C}_3\text{H}_6$	$n\text{-C}_4\text{H}_{10}$	$i\text{-C}_4\text{H}_{10}$	$t\text{-C}_4\text{H}_8$	$c\text{-C}_4\text{H}_8$
Sample									
Propane Gas (Vol. %)	4.1	—	6.1	88.5	1.3	trace	—	—	—
Butane Gas (Vol. %)	0.6	trace	0.24	42.1	—	40.5	16.20	0.24	trace

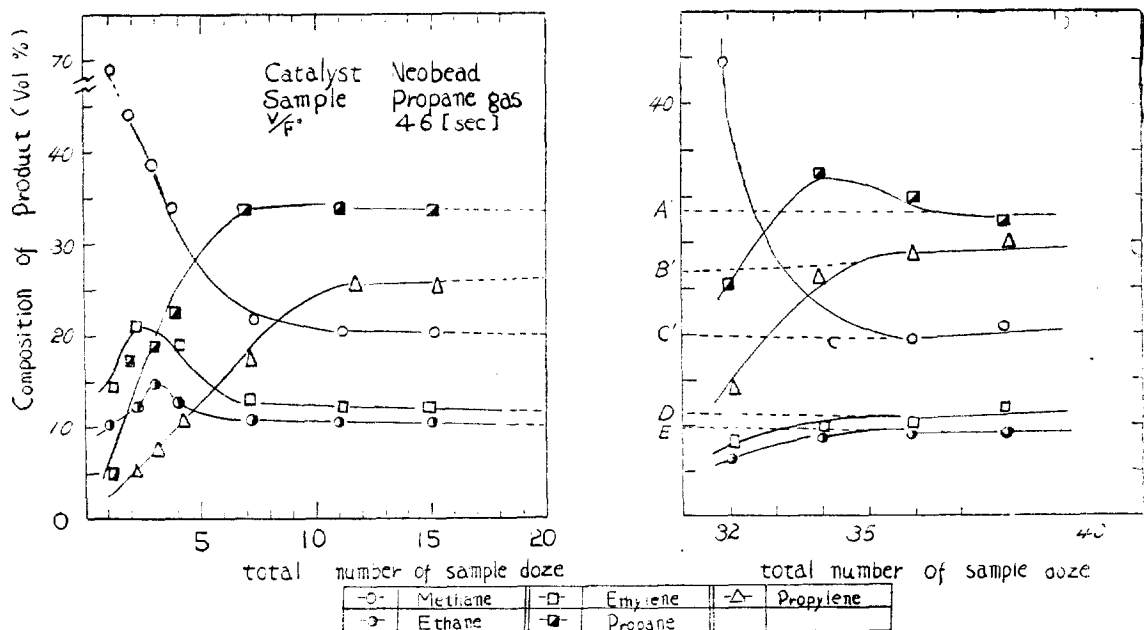


Fig. 2. Composition of Product vs Total Number of Sample Charge.

하기 위하여, 試料投入回数에 따른 生成物의 变化를 우선 보고 触媒의 使用條件를 定하였다. 触媒 Neobead 와 silica-alumina를 각각 1.4 ml 充填하고, 反應溫度  $650^{\circ}\text{C}$ , V/F<sup>2</sup>를 4.6[sec] 및 4.05[sec]로 하여, 全試料投入量에 따른 触媒活性의 变化를 알기 위하여 사용하던 触媒를 충분한 時間放置 후, 試料를 다시投入하여 그의活性의 变化를 본 것이 Fig. 2 및 Fig. 3 이다.

#### Neobead 触媒의 경우

初期活性은 propane의 分解에 의한 ethylene 및 methane의 生成과 炭素의析出이 크나, 触媒表面에 炭素析出의增加 및 触媒를 使用하고 있는 동안은 propylene의 生成이 증가함을 알 수 있다.

炭素의 生成 및 propylene의 增加로 보아서, Neobead는 脱水素에 有效한 触媒임을 알 수 있다. 反應은 热分解와 接觸分解가 同時に 일어난다고 생각되며, 触媒表面에 高沸點 生成物 및 炭素付着으로 脱水素가 어느 정도抑制를 받으면 propylene의 生成이 커지게 된다고 생각된다.

또한 触媒를長時間 방치하면, 高沸點 生成物이 脱着하여活性이 다시 커졌다가 사용함에 따라 다시一定하게 되나, 初期보다는 그 경향은 크지 않다. 그러므로, propylene을 目的으로 할 경우는, 오히려 高沸點 生成物을付着하고 있는 편이 유리하며, 触媒使用中은 高沸點 生成物을付着하고 있다. 따라서 触媒의

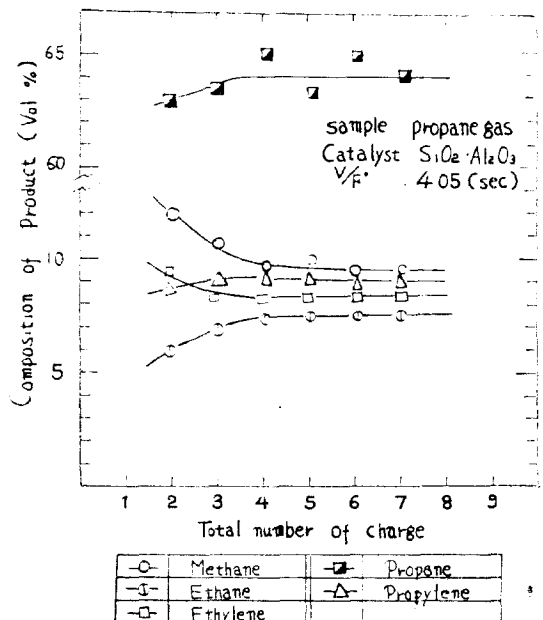


Fig. 3. Total Number of sample Charge vs Composition of Product.

使用條件으로는, 10回 이상 試料를 使用한 후 生成物의組成이一定하게 될 때 data를取하였다.

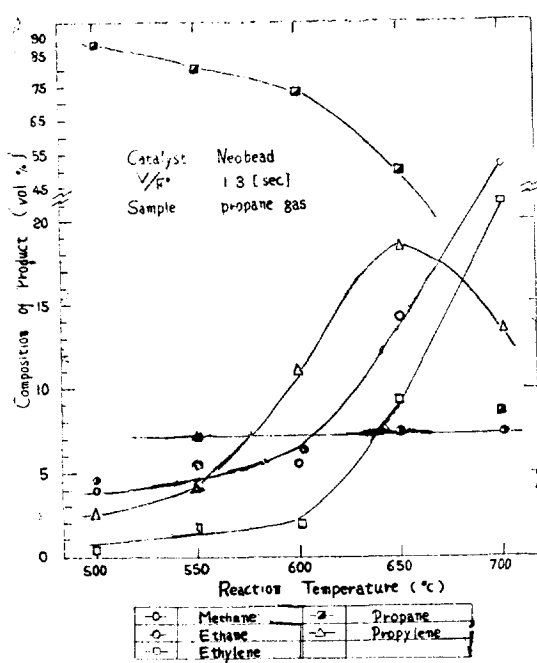


Fig. 4. Composition of Product vs Reaction Temperature.

#### Silica-Alumina触媒의 경우

炭素의生成도 적었고, 活性의 經時變化가 적은 것으로 보아 高沸點生成物에 依한活性의變化는 없으

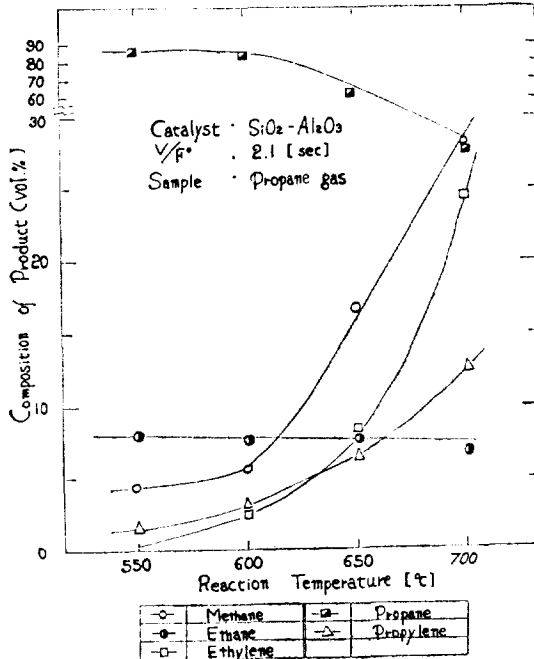


Fig. 5. Composition of Product vs Reaction Temperature.

며, ethylene 및 propylene의 生成物組成은 經時變化가 거의 없었다.

따라서 触媒의 使用條件으로, 5回 이상 試料를 使用한 후 data를 取하였다.

#### 3. 2. 生成物에 對한反應溫度의 影響

##### 3. 2. 1. Neobead触媒

###### Propane Gas의 경우

$V/F^o$ 를 1.31[sec]로 하고 溫度를 變化시켜 얻은結果가 Fig. 4이다.

500[°C] 부근까지는 反應이 일어나지 않았고, 反應은 600[°C]에서부터 시작하여 溫度가 上昇할수록 分解에 依한 methane 및 ethylene의 生成은 증가하나, propylene은 650[°C]에서 頂點을 가지며, 따라서 propane은 700[°C]에서는 대부분 反應하여 버림을 알 수 있다.

그러나 ethane은 脫水素되거나 分解되는 영향은 적으며, 出口組成으로는 거의一定하다.

###### Butane Gas의 경우

$V/F^o$ 를 3[sec]로 하였을 때의 結果가 Fig. 5이다.

n-Butane은 550[°C]에서 反應溫度에 達하여 ethylene 및 methane의 量이 증가하고, propylene의 生成은 600[°C]에서부터 上昇하는 것으로 보아 propane의 脫水素로 생성된 것이라 생각된다.

따라서 n-butane의 分解에 依한 propylene의 生成은 거의 없다.

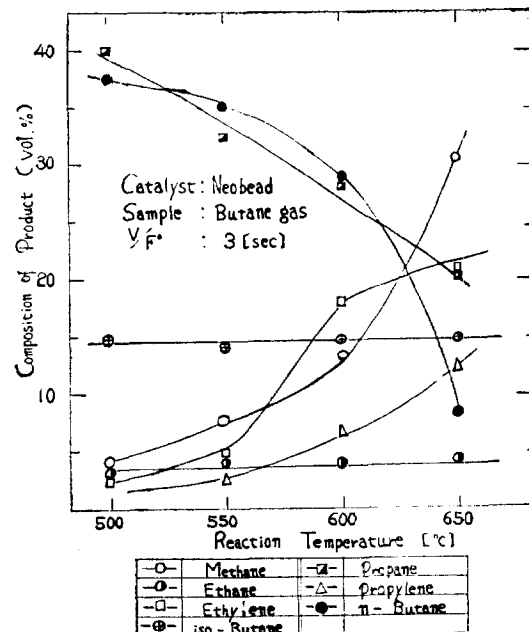


Fig. 6. Composition of Product vs Reaction Temperature.

Iso-Butane 成分은 生成物 中 一定한 値을 가지며, 따라서 butane 的 异性化 反應은 없다고 생각되며, 炭素의 付着이 큼을 확인할 수 있었다.

### 3. 2. 2. Silica-Alumina 触媒

#### Propane Gas 的 경우

$V/F^\circ$  를 2.1[sec]로 하여 얻은 結果가 Fig. 6 이다.

反應은 600[°C]에서 시작되었으며, 溫度上昇과 함께 ethylene 및 methane 的 生成量이 급격히 증가하였다. Propylene 은, Fig. 13에서 보는 바와 같이,  $V/F^\circ$  가 約 1~2[sec]이면 收率이 溫度上昇에 따라 증가 하나, 6[sec] 이상에서는 오히려 떨어져서, methane 및 ethylene 이 된다.

Propylene 的 收率은, Neobead 에 比하여, 650[°C],  $V/F^\circ$  1[sec]에서 約  $\frac{1}{2}$  정도이며, 溫度가 上昇하여도 炭素의 生成은 적었다.

#### Butane Gas 的 경우

$V/F^\circ$  를 4.05[sec]로 하고 溫度를 變化시켜 얻은 結果가 Fig. 7 이다.

Butane gas 中 propane 成分은 propane gas 때와 같으며, n-butane 은 600[°C]에서 peak 를 이루는데, 그 값이 試料組成 中 n-butane 보다 큰 것으로 보아, i-butane 的 异性化 反應으로 n-butane 이 생성되었다고 본다. 또 溫度 上昇에 따른 ethane 的 증가는 n-butane

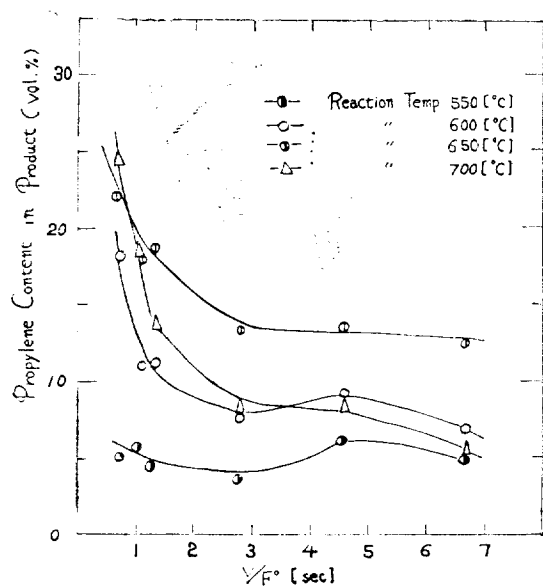


Fig. 8. Propylene Content in Product vs  $V/F^\circ$   
Catalyst: Neobead  
Sample: Propane gas

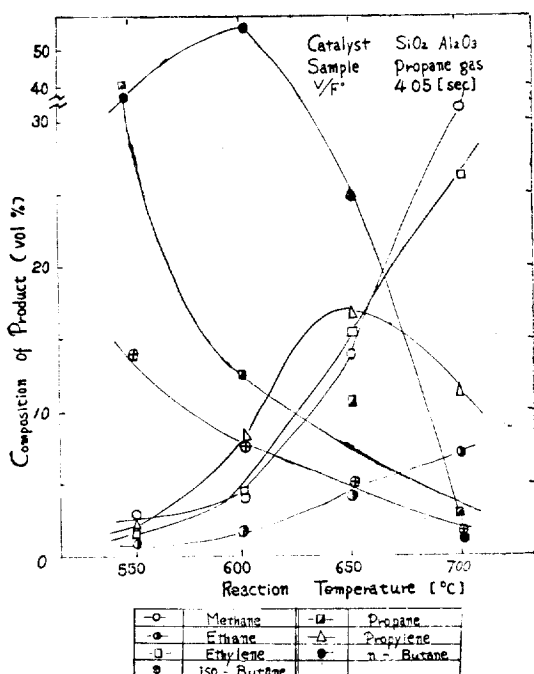


Fig. 7. Composition of Product vs Reaction Temperature.

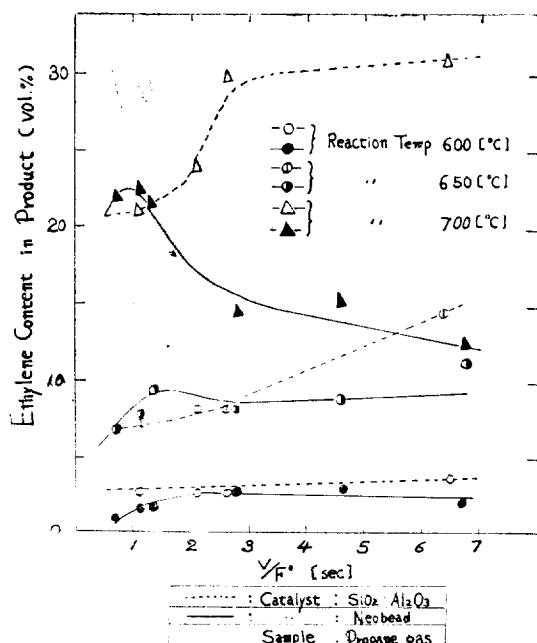
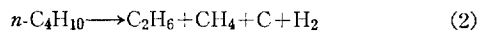


Fig. 9. Ethylene Content in Product vs  $V/F^\circ$   
.....Catalyst:  $\text{SiO}_2 \cdot \text{Al}_2\text{O}_3$   
—Catalyst: Neobead  
Sample: Propane gas

의 分解生成에 의한 것이라고 생각된다. 따라서 다음과 같은 두 가지의 反應을 생각할 수 있다.



### 3. 3 反應生成物에 對한 接觸時間의 影響

#### 3. 3. 1. Neobead 觸媒

Propane gas 를 試料로 하고, 여러 溫度에 對하여

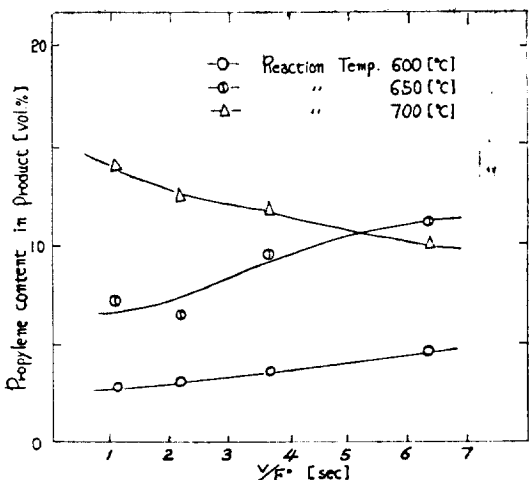


Fig. 10. Propylene Content in Product vs V/F°  
Catalyst:  $\text{SiO}_2 \cdot \text{Al}_2\text{O}_3$   
Sample: Propane gas

$V/F^\circ$  0.7~7[sec] 사이에서 propylene 및 ethylene의 收率에 關하여 얻은 結果가 Fig. 8 및 Fig. 9이다.

$V/F^\circ$  가 約 1[sec]에서 propylene 및 Ethylene의 生成이 가장 크며,  $V/F^\circ$  가 크면, Fig. 11에서 보는 바와 같이 methane의 生成이 증가하며, olefine의 收率은 감소함을 알 수 있다.

따라서 ethylene을 目的으로 할 경우는 反應溫度: 700[°C] 이상,  $V/F^\circ$ : 約 1[sec]로 하고, propylene을 目的으로 할 경우는 650°C에서 1[sec]로 함이 좋으리라 생각된다.

즉, 700°C 이상에서는 接解分解와 同時に 热分解가 일어난다고 볼 수 있는 것이다.

#### 3. 3. 2. Silica-Alumina 觸媒

Propane gas를 試料로 하고, propylene의 生成 및 ethylene의 生成에 대하여,  $V/F^\circ$ : 1~7[sec]에서 얻은 결과가 Fig. 10과 Fig. 9이다.

$V/F^\circ$  가 1~2[sec]에서는 溫度가 上昇할수록 propylene의 生成은 증가 하나, 接觸時間이 크면 오히려 감소하며, Fig. 10에서 보는 바와 같이 650°C에서 peak를 이룬다. 즉 접촉시간이 짧으면 脱水素가 일어난 후 繼續分解가 일어나지 못하고 脱水素에 依한 propylene의 量만 증가하며, 긴 接觸時間에서는 脱水素와 繼續分解가 일어나 ethylene 및 methane의 生성이 증가된다고 생각된다.

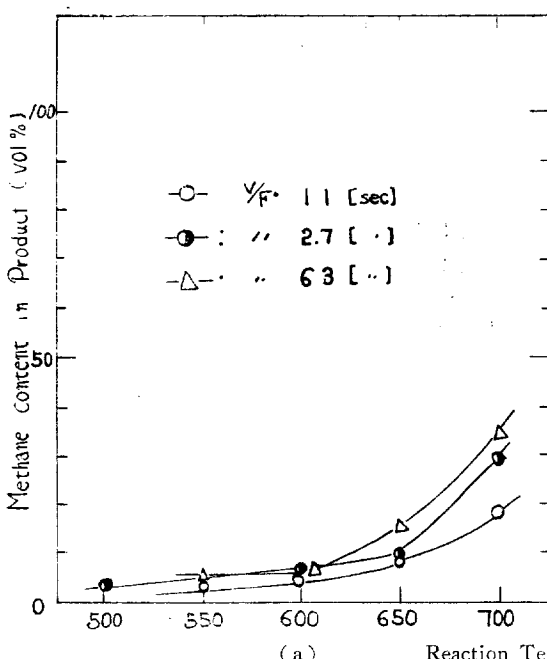
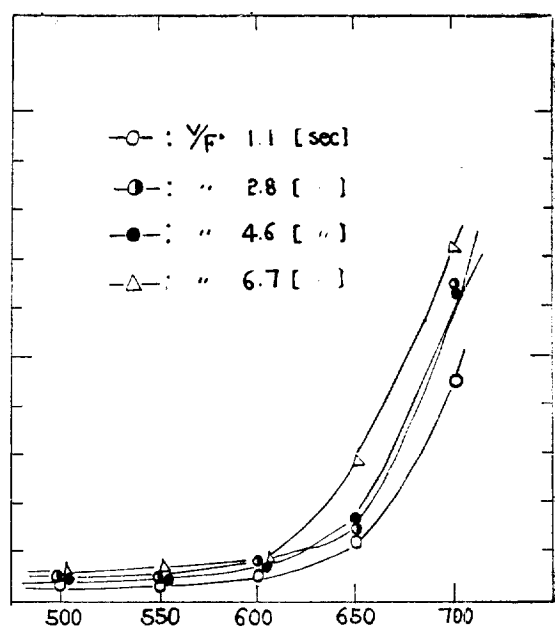


Fig. 11. Methane Content in Product vs Reaction Temperature.  
a) Catalyst:  $\text{SiO}_2 \cdot \text{Al}_2\text{O}_3$   
Sample: Propane gas



b) Catalyst: Neobead  
Sample: Propane gas

#### 4. 生成氣體의 組成

##### A. 水素

Carrier gas로서 He를 使用하였고, gas chromatograph의 detector가 热傳導度에 依한 方法이고, 水素는 He와 热傳導度 값이 비슷하여 peak가 不明確함으로 水素의 定量은 不可能하였으나, 生成물의 조성으로 추측 할 수 있었다.

Neobead 觸媒와 propane gas를 試料로 하였을 경우, propane의 脱水素에 의한 水素와, 分解로 인한 炭素과 함께 발생된 水素이며, butane gas의 경우는 *n*-butane의 分解에 의한 水素가 크다고 생각된다.

그러나 silica-alumina 觸媒의 경우는, 炭素생성으로 발생된 水素는 적다.

##### B. Methane

Propane으로부터의 methane의 生成은 700[°C] 부근에서는 热分解와 接觸分解가 併起하여 生成되는 것으로 생각되며, 生成物은 propylene을 目的으로 할 때는 methane의 生成은 不利하다.

Fig. 11은 Neobead 觸媒 및  $\text{SiO}_2\cdot\text{Al}_2\text{O}_3$  觸媒의 反應溫度와 methane의 生成과의 關係를 表示한 것이다.

여기서, Neobead 觸媒가 700[°C]에서 methane의 生成이  $\text{SiO}_2\cdot\text{Al}_2\text{O}_3$  보다 큰 것은, Neobead 觸媒가 脱水素能이 크며, 热分解가 同時に 일어나 分解가 촉진되기 때문이라고 생각된다.

##### C. Ethylene

反應溫度와 ethylene의 收率과의 關係를 表示한 것인 Fig. 12이다.

$\text{SiO}_2\cdot\text{Al}_2\text{O}_3$  경우는 擊出시간이 크고 反應溫度가 를 수록 收率이 크나, Neobead 觸媒의 경우는 反應 온도 700[°C], V/F°가 約 1[sec]이면 가장 좋다.

##### D. Propylene

反應溫度와 propylene의 收率과의 關係를 表示한 것인 Fig. 13이다.

두 측면에 대하여 V/F°가 1~2[sec]가 收率이 크며, Neobead 觸媒의 경우는 反應溫度 650[°C]가 最適이나, V/F°가 1[sec] 内인 경우는 700[°C]에서도 收率은 크다.

##### E. Propane 및 *n*-Butane

Propane의 反應溫度에 對한 組成 變化率을 表示한 것이 Fig. 14이다.

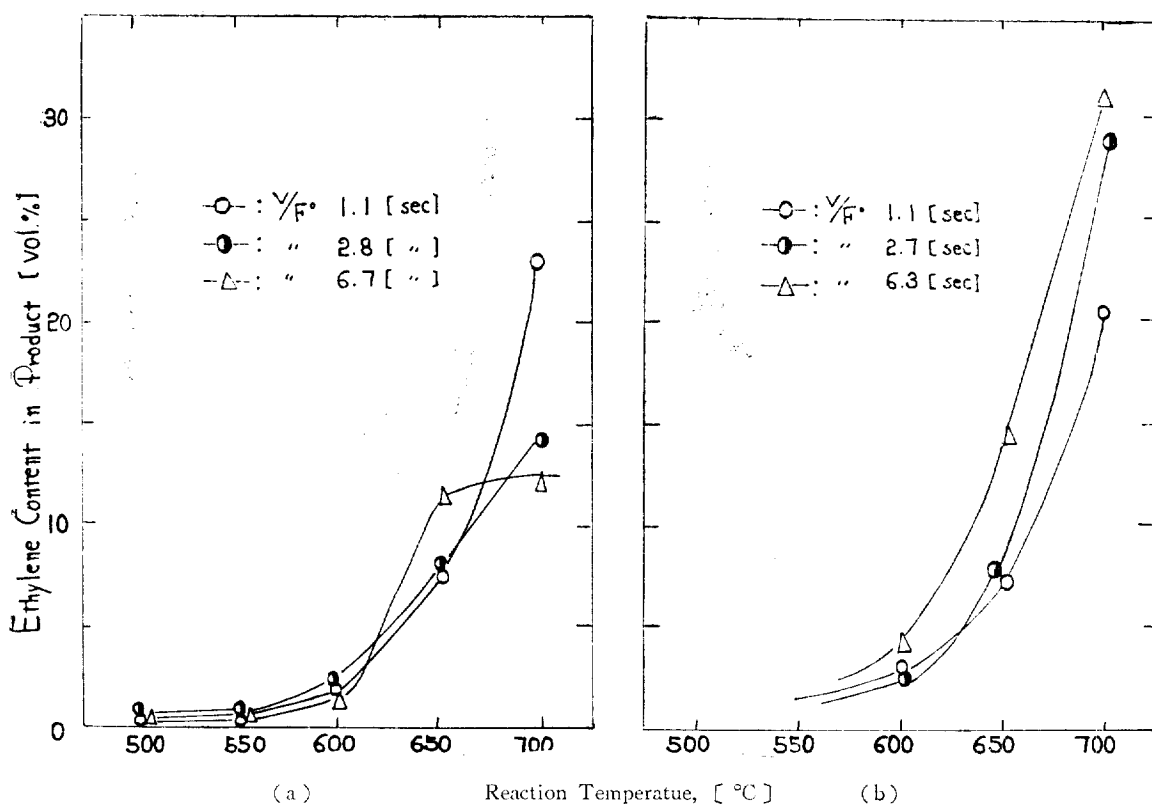


Fig. 12. Ethylene Content in Product vs Reaction Temperature  
a) Catalyst: Neobead      b) Catalyst:  $\text{SiO}_2\cdot\text{Al}_2\text{O}_3$   
Sample: Propane gas      Sample: Propane gas

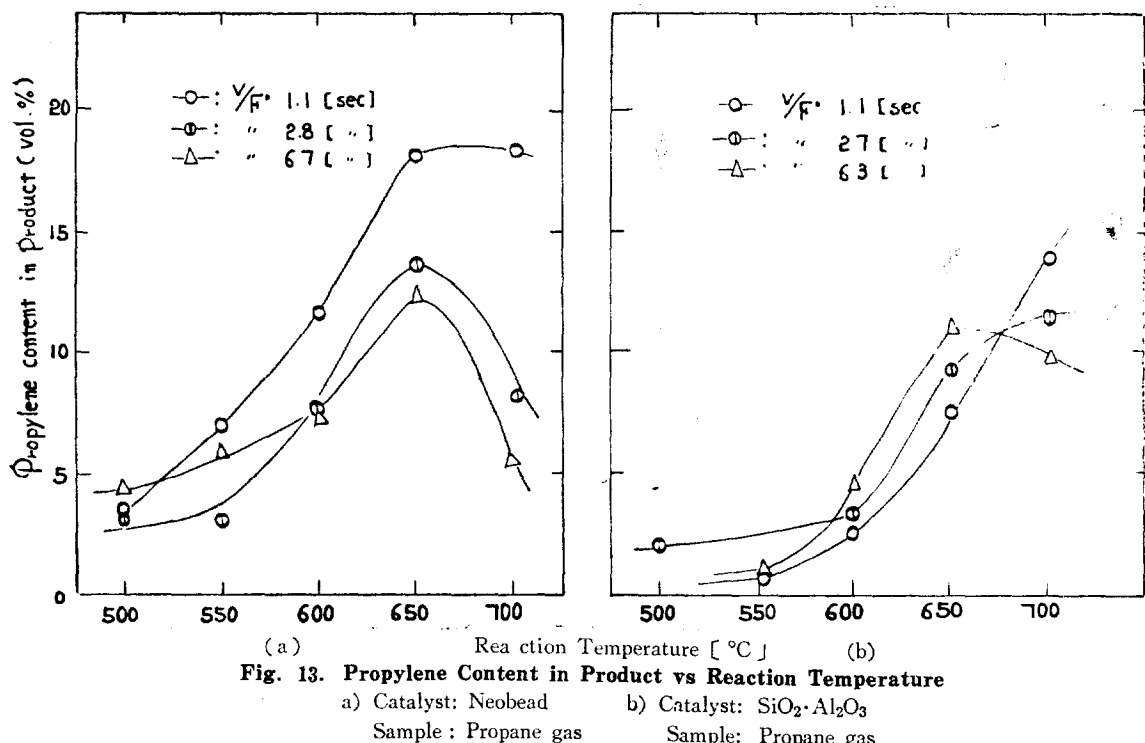


Fig. 13. Propylene Content in Product vs Reaction Temperature  
 a) Catalyst: Neobead      b) Catalyst:  $\text{SiO}_2\cdot\text{Al}_2\text{O}_3$   
 Sample: Propane gas      Sample: Propane gas

反應溫度  $700[^\circ\text{C}]$ ,  $V/F^{\circ} 1.1[\text{sec}]$ 에서 反應生成物의 容積을 recorder chart 의 peak 面積의 合으로 比較하여 보면,

Neobead 觸媒使用時 peak 面積의 和  $\frac{4}{5}$   
 $\text{SiO}_2\cdot\text{Al}_2\text{O}_3$  觸媒使用時 peak 面積의 和  $\frac{5}{4}$   
 의 關係가 있으며, Neobead 觸媒의 경우는 propane 이

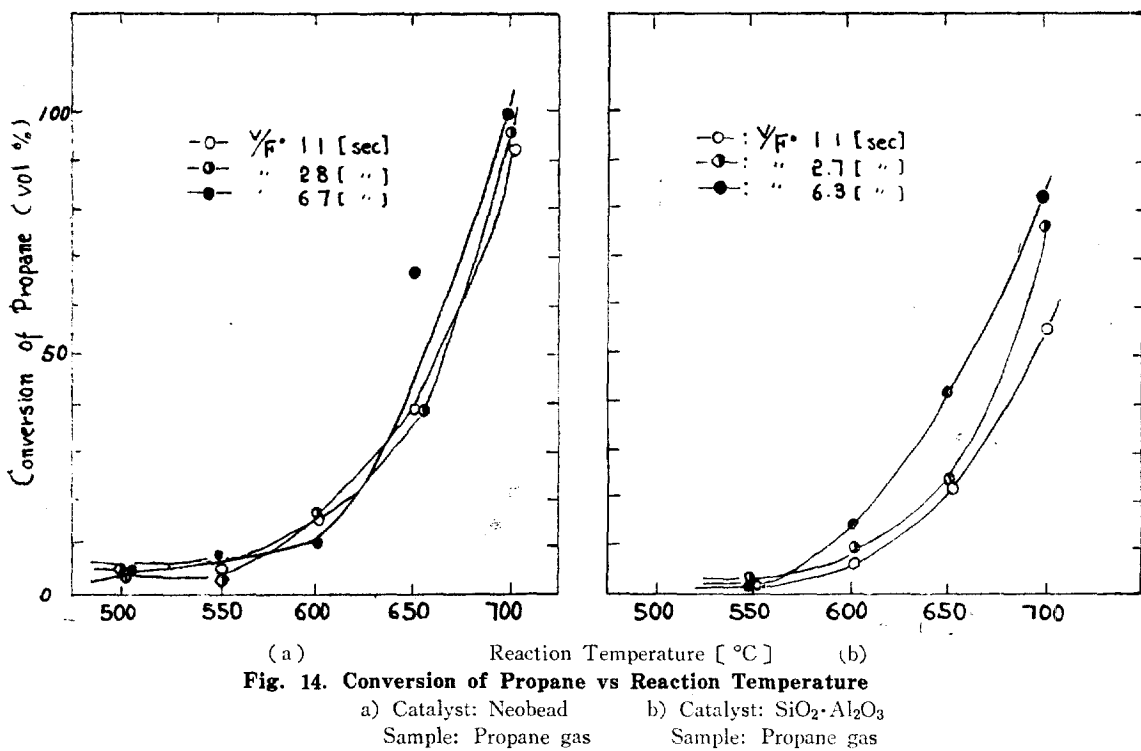


Fig. 14. Conversion of Propane vs Reaction Temperature  
 a) Catalyst: Neobead      b) Catalyst:  $\text{SiO}_2\cdot\text{Al}_2\text{O}_3$   
 Sample: Propane gas      Sample: Propane gas

700[°C]에서 完全히 分解하여 빠리나,  $\text{SiO}_2 \cdot \text{Al}_2\text{O}_3$ 의 경우는 約 60% 轉化하기 때문에, Neobead 觸媒가 炭素을 많이 生成시킴을 알 수 있다.

*n*-Butane 도 propane 과 類似하게 反應 하나,  $\text{SiO}_2 \cdot \text{Al}_2\text{O}_3$  觸媒의 경우는 分解率이 적고 *i*-Butane의 异性化로 그 生成량이 反應溫度 600[°C]에서 증가하였다.

#### F. Ethene 및 *i*-Butane

Fig. 5 및 Fig. 7에서 보는 바와 같이, Neobead 觸媒의 경우는 生成物 中 ethane 및 *i*-butane의 量은 一定한 값을 보여준다. 그러나  $\text{SiO}_2 \cdot \text{Al}_2\text{O}_3$  는 式(1)의 异性化 反應이 일어나 *n*-butane 이 生成되므로, 600[°C]에서 peak를 이룬다.

또한,  $\text{SiO}_2 \cdot \text{Al}_2\text{O}_3$  측매는 *n*-butane 을 ethane 으로 分解시켜, 反應溫度 上昇에 따라 ethane의 量이 증가 된다고 생각된다.

### 5. 考 察

#### 5. 1. Neobead 觸媒

初期活性은 分解能이 커서 methane 이 70%에 달하며, 使用함에 따라 ethylene의 生成率이 증가하였다가 감소하며, 계속 使用하면 propylene의 收率이 증가하고 一定한 값에 달한다.

또한 一夜放置 후 使用할 경우는, 初期보다는 낮으나 처음 1回는 methane의 量이 증가하는 것으로 보아触媒가 高沸點 生成物을 吸着하여 活性點이 감소 하면 分解 反應까지 進行되지 못하고 脱水素에 그치는 率이 上昇한다고 생각된다. Propylene의 收率이 650[°C]에서 頂點을 가지는 것은 武末<sup>6)</sup>氏等이  $\text{Al}_2\text{O}_3 \cdot \text{Cr}_2\text{O}_3$  觸媒를 使用하여 얻은 結果와 일치한다. Butane gas의 경우도, iso-butane의 生成物의 組成 變化率이 一定한 것으로 보아, 炭素數 3位의 것에 대하여는 异性化 反應은 일어나지 않는다고 생각된다.

#### 5. 2. Silica-Alumina 觸媒

Neobead 觸媒와는 달라 觸媒 表面에 炭素의 生成이 적고, methane 및 ethane의 生成이 큰 것으로 보아서 炭化水素의 炭素와 炭素 사이의 切斷에 有効한 觸媒임을 알 수 있었다.

또한 觸媒 活性의 經時變化가 적은 것으로 보아서, 觸媒 表面에의 炭素의 生成이 적고 高沸點 生成物이 觸媒表面에 生成吸着되지 않는다고 생각된다.

### 6. 結 論

Neobead 觸媒는 propane의 脱水素에 依한 propylene의 生成 觸媒로서 有用하며, 反應 最適 條件으로 反應溫度 650°C, V/F°, 1[sec]이다.

Silica-alumina 觸媒는 propane의 分解에 依한 ethylene의 生成에 有效하며, 最適條件은 反應溫度 700[°C], V/F°, 3[sec] 이상이다.

### 記 號

$C_1$ —: Methane

$C_2$ —: Ethane

$C_2=$ : Ethylene

$C_3$ —: Propane

$C_3=$ : Propylene

$C_4$ —: *n*-Butane

$iC_4$ —: *i*-Butane

V: 觸媒의 容積, [ml]

F°: 標準狀態에서 Carrier gas의 流速, [ $\text{ml} \cdot \text{sec}^{-1}$ ]

T: 反應溫度, [°C]

### 文 獻

- 1) Frey, F. E., Huppke, W. F., Ind. Eng. Chem., **25**, 54(1933).
- 2) Frey, F. E., Smith, D. F., Ind. Eng. Chem., **20**, 948(1928).
- 3) Frey, F. E., Hepp, H. J., Ind. Eng. Chem., **25**, 441(1933).
- 4) Sabatier, P., Naihe, A., Bull. Soc. Chem., **4**, 1107, 341, 733(1907)
- 5) Wheeler, A., "Catalysis", Vol. 2, 105(1955).
- 6) 武末知行, 市川良正, 石油學會誌, Vol. 9, No. 11, 868(1963).